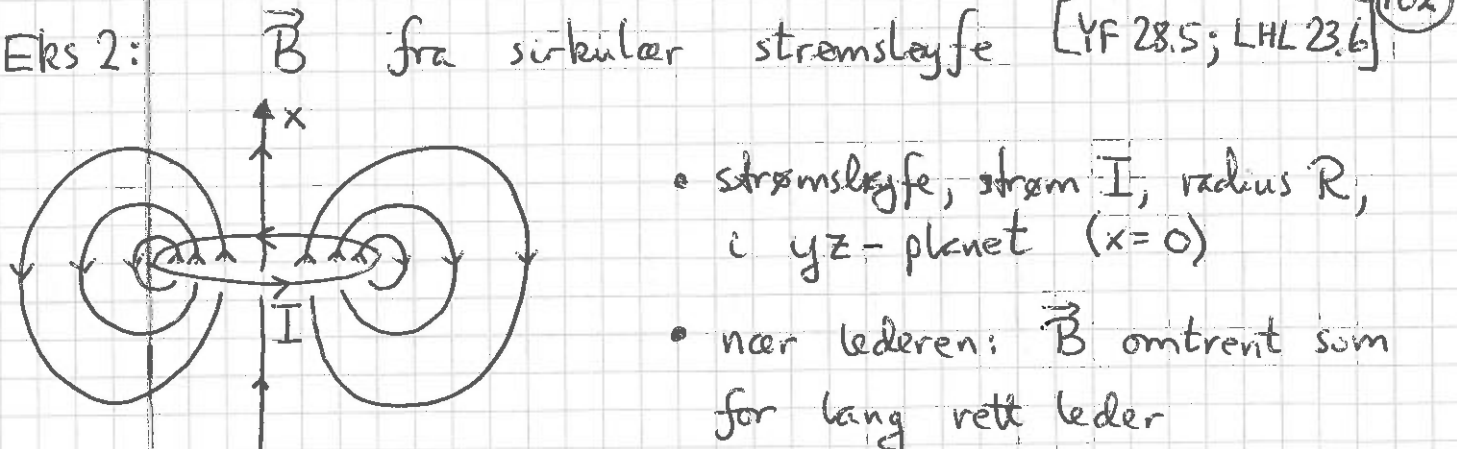


Eks 2:

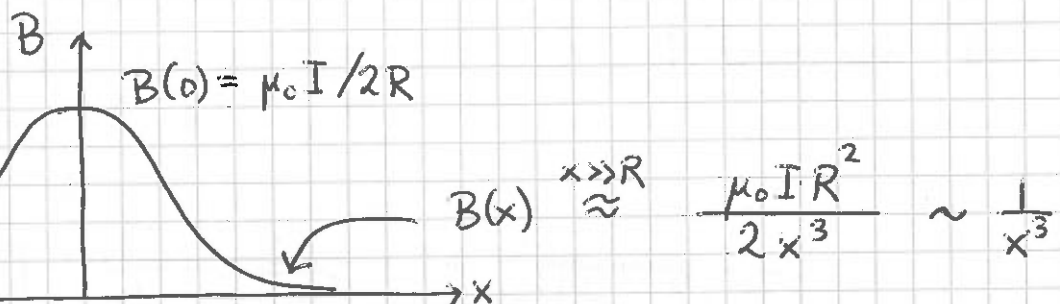


- strømslayfe, strøm I , radius R ,
- i yz -planet ($x=0$)

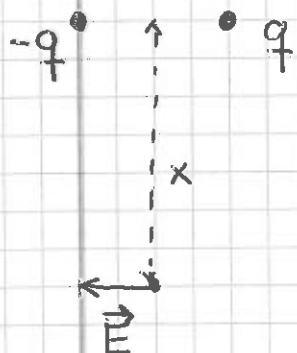
- nær lederen: \vec{B} omtrent som for lang rett ledet
- på x -aksen: $\vec{B} \parallel \hat{x}$
pga symmetri

Biot + Savart gir [s 128B]

$$B(x) = \frac{\mu_0 I R^2}{2(x^2 + R^2)^{3/2}} \quad \text{på } x\text{-aksen (slayfes aksje)}$$



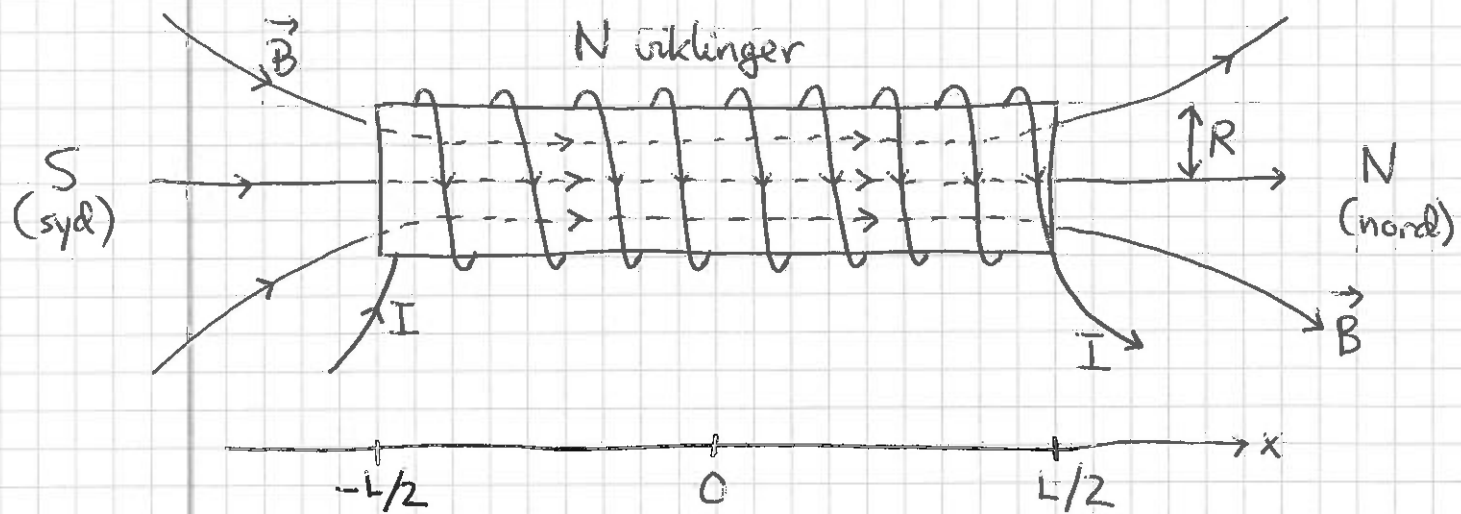
Fra før (s. 65):



- $E(x) \sim \frac{1}{x^3}$ langt unna elektrisk dipol.

- Den sirkulære strømslayfa er en magnetisk dipol.

Eks 3: \vec{B} fra strømførende spole [YF 28.7; LHL 23.6] (103)



- $n = N/L = \text{viklinger pr lengdeenhet} (= \text{viklingstetthet})$
- tettliggende viklinger, slik at \vec{B} blir omtrent som for N sirkulære strømslayser jevnt fordelt på lengden L

Biot-Savart gir [s 129 B, C, D] for feltstyrken $B(x)$ på spolens akse (radius R):

$$B(x) = \frac{1}{2} \mu_0 n I \left\{ \frac{\frac{L}{2} - x}{\sqrt{(\frac{L}{2}-x)^2 + R^2}} + \frac{\frac{L}{2} + x}{\sqrt{(\frac{L}{2}+x)^2 + R^2}} \right\}$$

Hvis spolen er lang, dvs $L/2 \gg R$:

$$B \approx \frac{1}{2} \mu_0 n I \quad \text{nær spolens ender} \quad (x = \pm \frac{L}{2})$$

$B \approx \mu_0 n I$

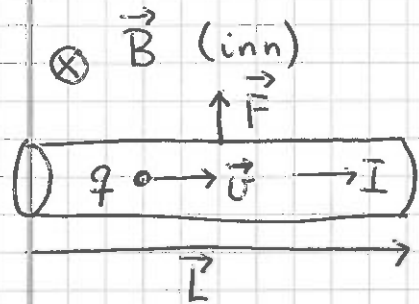
innen i spolen $(|x| \ll \frac{L}{2})$

$B \approx 0$ utenfor spolen

Magnetisk kraft på strøm

[YF 27.6; LHL 23.2]

(104)

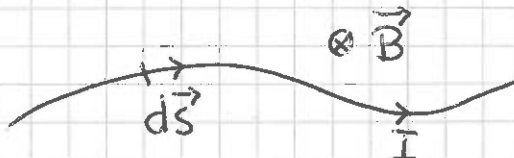


Lederbit med N frie ladninger q , driftshastighet v , lengde L
 $\Rightarrow \vec{F} = Nq\vec{v} \times \vec{B}$ (oppover)

$$I = \frac{\Delta Q}{\Delta t} = \frac{Nq}{L/v} = \frac{1}{L} Nqv \Rightarrow Nqv = IL$$

$$\Rightarrow \vec{F} = IL \times \vec{B}$$

Generelt:

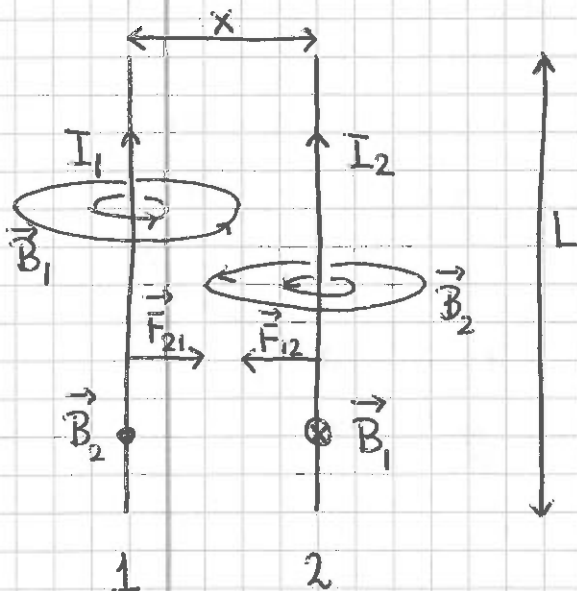


$$d\vec{F} = I d\vec{s} \times \vec{B}$$

$$\vec{F} = I \int d\vec{s} \times \vec{B}$$

(= total kraft
på lederen)

Eks: Kraft mellom parallele stremmer [YF 28.4; LHL 23.5]



Innbyrdes kraft på lengde L :

$$F_{12} = F_{21} = F$$

$$F = I_1 L B_2 = I_1 L \frac{\mu_0 I_2}{2\pi x}$$

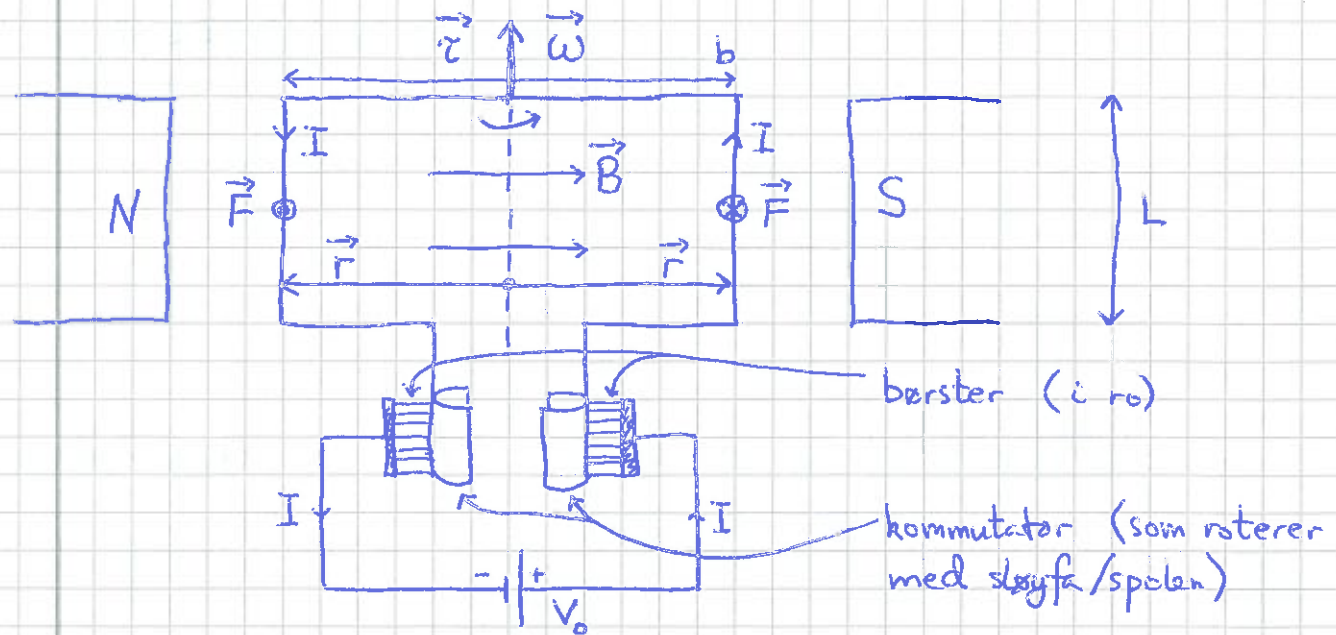
$$(= I_2 L B_1)$$

Kraft pr lengdeenhet:

$$f = F/L = \frac{\mu_0 I_1 I_2}{2\pi x}$$

$I_1 \parallel I_2 \Rightarrow$ Tiltrekning ; $I_1 \perp I_2 \Rightarrow$ Frastøtning

Med $x = L = 1\text{ m}$ og $I_1 = I_2 = 1\text{ A}$ blir $F = 2 \cdot 10^{-7}\text{ N} = 0,20\text{ }\mu\text{N}$



Dreiemoment på strømsløyfa (sett: pr vikling av en spole)

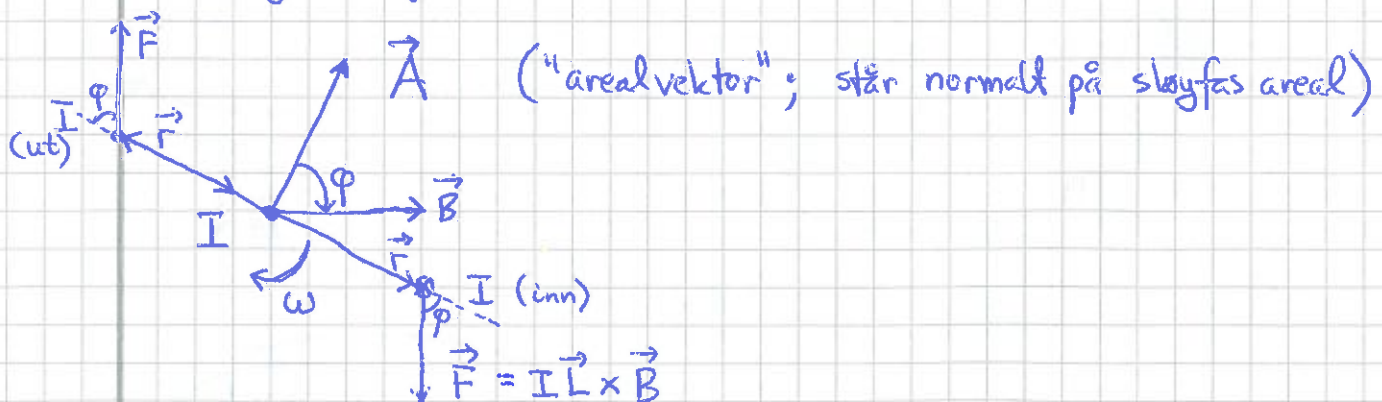
$$\tau = |\vec{\tau}| = \left| \sum \vec{r}_i \times \vec{F}_i \right| = 2 \cdot \frac{b}{2} \cdot I L B \cdot \sin \varphi$$

[φ = vinkel mellom \vec{r} og \vec{F} ; $\varphi = 90^\circ$ i figuren]

$$\Rightarrow \tau = IA \cdot B \cdot \sin \varphi ; \quad A = bL = \text{omsluttet areal}$$

$$\text{dvs } \vec{\tau} = I \vec{A} \times \vec{B}$$

Sett ned langs rotasjonsaksen:

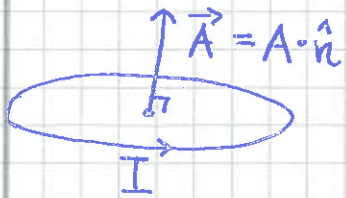


Kommutatoren sørger for strømretning i sløyfa/spolen slik at $\vec{\tau}$ hele tiden peker i samme retning.

Magnetisk dipol og dipolmoment [YF 27.7; LHL 23.3, 26.2]

(106)

ei strømslayfe er en magnetisk dipol:



- \hat{n} er enhetsvektor \perp omsluttet areal
- $A = \text{omsluttet areal}$
- fortegn på \vec{A} med h.h. regel

strømslayfas magnetiske dipolmoment:

$$\vec{m} = I \vec{A}$$

$$[m] = A \cdot m^2 = \frac{N \cdot m}{T} = \frac{\text{J}}{T} \quad (\text{siden } [x] = [IAB] = [mB])$$

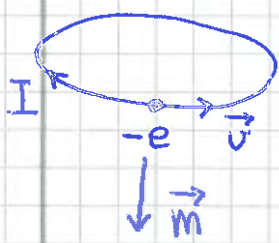
[Generelle definisjoner av dipolmoment:

$$\vec{m} = \frac{1}{2} \int (\vec{r} \times \vec{j}) dV ; \quad \vec{j} = \text{strømkjøtt}; \quad dV = \text{volumelement}$$

$$\vec{p} = \int \vec{r} j dV ; \quad j = \text{ladningskjøtt}; \quad \text{--- n ---}]$$

Eksempler på små og store magnetiske dipoler:

Eks 1: Atom med 1 elektron i sirkulær bane, $r = 1\text{\AA}$, $v = 10^6 \text{ m/s}$.

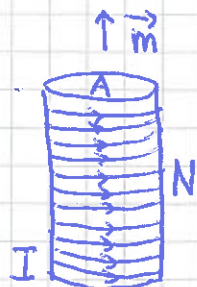


$$m = IA = \frac{e}{T} \cdot \pi r^2 ; \quad T = \frac{2\pi r}{v}$$

$$\Rightarrow m = \frac{evr}{2} = \frac{1}{2} \cdot 1.6 \cdot 10^{-19} \cdot 10^6 \cdot 10^{-10} \text{ Am}^2 \\ = \underline{\underline{8 \cdot 10^{-24} \text{ Am}^2}} \quad (\text{erst. J/T})$$

Kvantemekanikk gir at elektronet har et spinn ("indre dreieimpuls") som tilsvarer et magnetisk dipolmoment $\mu_B = e \cdot h / 4\pi m_e \approx 9.274 \cdot 10^{-24} \text{ J/T}$, et såkalt Bohr magneton. ($h = \text{Planck's konstant}$)

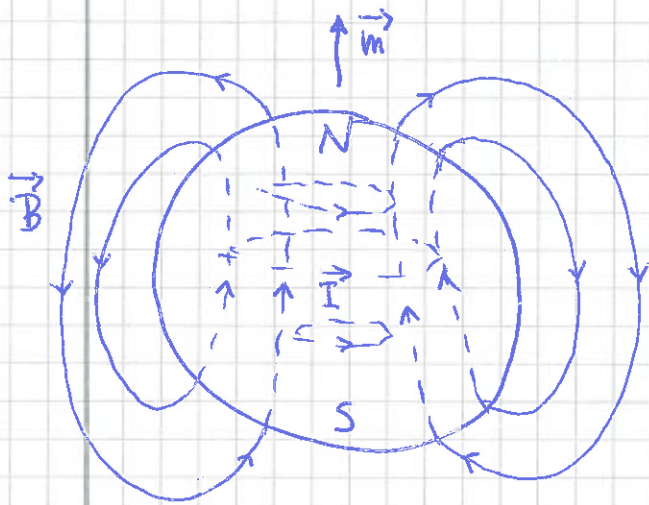
Eks 2: Spole med $N = 100$ viklinger, strøm $I = 1\text{ A}$, tverrsnitt $A = 10\text{ cm}^2$. 107



$$m = N \cdot IA = 100 \cdot 1 \cdot \pi \cdot 10 \cdot 10^{-4} \text{ Am}^2$$

$$\approx 0.3 \text{ Am}^2$$

Eks 3: Jordas

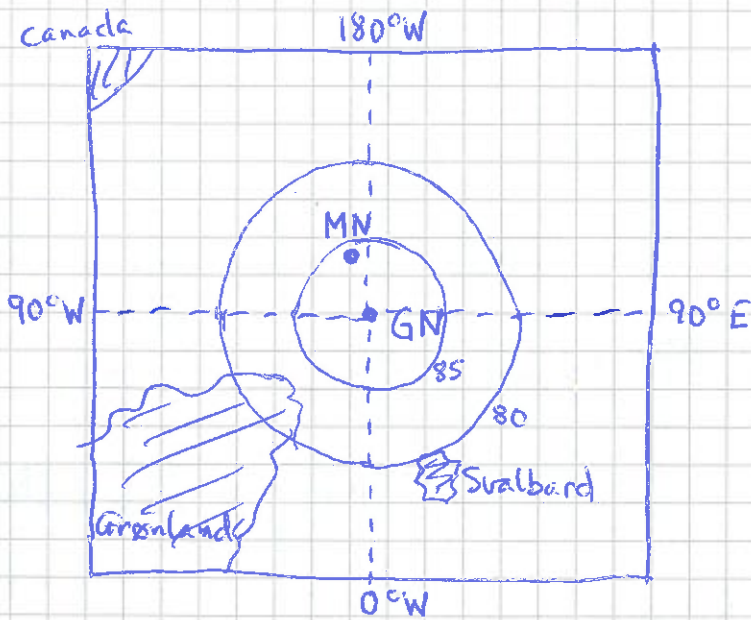


$$m \approx 8 \cdot 10^{22} \text{ Am}^2$$

(tilsvarer (f.eks.)

strømsleife med

$$I = 2 \cdot 10^{10} \text{ A og } A = 4 \cdot 10^{12} \text{ m}^2)$$



GN: geografisk nordpol (90°N)

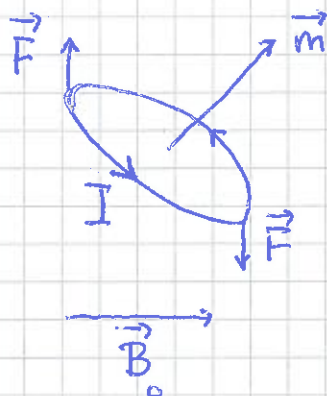
MN (2016): magnetisk nordpol ($86.4^\circ\text{N}, 166.3^\circ\text{W}$)

(2001: $81.3^\circ\text{N}, 110.8^\circ\text{W}$)

Materialers magnetiske egenskaper; magnetisme

[Jf. isolatorers dielektriske egenskaper s 79-80]

Fra Eks 1 s 106: Atomære magnetiske dipoler med dipolmoment \vec{m} kan rettes inn langs ytre felt \vec{B}_o (jf. DC-motor s 105):



$$\vec{\tau} = \vec{m} \times \vec{B}_o ; \quad U = -\vec{m} \cdot \vec{B}_o$$

(se Øving 13; jf. øving 9 for elektrisk dipol,

$$\vec{\tau} = \vec{p} \times \vec{E}_o ; \quad U = -\vec{p} \cdot \vec{E}_o)$$

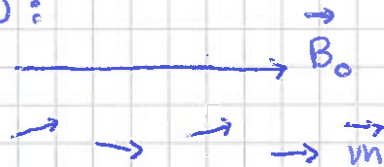
\Rightarrow Materialer kan magnetiseres i et ytre felt \vec{B}_o :

$$B_o = 0 :$$



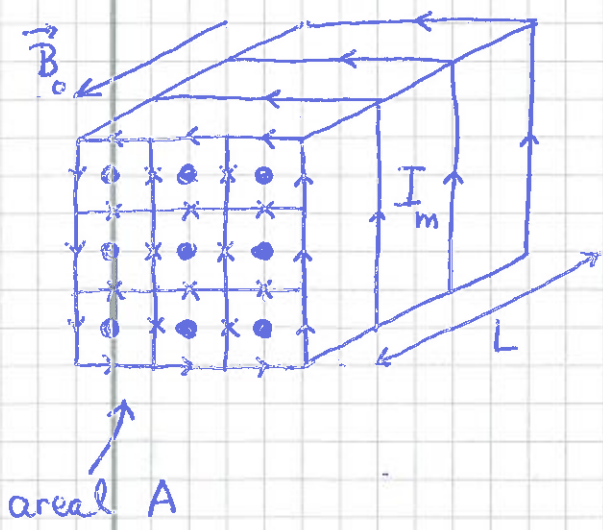
$$\sum_i \vec{m}_i \approx 0$$

$$B_o \neq 0 :$$



$$\sum_i \vec{m}_i \neq 0$$

Netto makroskopisk effekt av ytre \vec{B}_o :



- innretting av atomære \vec{m} langs \vec{B}_o ; bundet strøm i hvert atom
- alle indre strømmer kansellerer (x)
- induserer overflatestrøm I_m , pr lengdeenhet $i_m = I_m / L$
- materialet blir som en spole!
- magnetfeltet styrkes i materialet,

$$\vec{B} = \vec{B}_o + \vec{B}_m$$

Stoffets relative permeabilitet μ_r defineres ved

$$B = \mu_r B_0$$

Jf. $E = \frac{1}{\epsilon_r} E_0$ for dielektrikum (s. 80)

Stoff	Stoffets permeabilitet $\mu = \mu_r \mu_0$	Type magnetisme
Vakuum	μ_0	—
Luft	$1.0000004 \mu_0$	Paramagnet
Aluminium	$1.00002 \mu_0$	— II —
Rent jern	$5000 \mu_0$	Ferromagnet
Kobber	$0.999994 \mu_0$	Diamagnet
Vann	$0.999992 \mu_0$	— II —

Paramagnetisme: Svak innretting av \vec{m} langs ytre \vec{B}_0

Diamagnetisme: Ytre \vec{B}_0 induserer motsett rettet \vec{m} .

Bare målbart huis $\vec{m} = 0$ i null ytre felt.

Ferromagnetisme: Vekselvirkende atomære \vec{m}_i , lavest energi når "alle" \vec{m} peker samme vei: $\dots \uparrow \uparrow \uparrow \uparrow \uparrow \uparrow \uparrow \dots$
 Dette skjer i magneter (Fe, Ni, Co, ...).

Tilsvarende i ferroelektriske materialer: Spontan innretting av elektriske dipoler: $\dots \uparrow \uparrow \uparrow \uparrow \uparrow \dots$
 \vec{P}_e
 $(BaTiO_3, PbTiO_3)$

Eks: Bestem B i en spole med 1000 viklinger på lengde 25 cm, fylt med jern med $\mu_r = 2000$; strøm 1A i spoletråden.

$$\text{Løsn: } B = \mu_0 n I = \mu_r \mu_0 \frac{N}{L} I = 2000 \cdot 4\pi \cdot 10^{-7} \cdot \frac{1000}{0.25} \cdot 1 \text{ T} \approx \underline{\underline{10 \text{ T}}}$$